

II-35 波動境界層における質量輸送と防波堤基部の洗掘

鳥取大学工学部 正員 野田 英明

1. まえがき

防波堤、海岸堤防および護岸の基部洗掘によって、これら構造物の強度や防災機能が低下したり、あるいは構造物が破壊したという実例は多い。従来、海岸構造物基部の洗掘機構については主として実験的に研究され、これらの結果によると構造物前面の地形はいくつかに分けられようである。しかし、その地形が異なる原因については現在のこととそれほど明確な解答はえられていない。著者はこの原因を波動境界層における質量輸送にあると考えて若干の考察を行った。

2. 波動境界層における質量輸送速度

(i) 層流境界層；Longuet-Higginsが示したように、波動層流境界層内の質量輸送速度 \bar{U}_L は、

$$\bar{U}_L = \frac{\pi^2 (H_i)^2}{4} \frac{L}{T \sinh^2 kh} \left[(1-r^2) K_{pl}(\gamma) + 2r K_{sl}(\gamma) \cdot \sin 2kx \right] \dots \dots \dots \dots \quad (1)$$

となる。ここに、 H_i ：入射波高、 L ：波長、 T ：周期、 h ：水深、 r ：反射率、 $k=2\pi/L$ 、 $\gamma=z/\sqrt{2}h$ 、 $S=(\sqrt{T}/2\pi)^k$ ： γ ：水の動粘性係数であり、

$$\begin{aligned} K_{pl}(\gamma) &= 5 - 8e^{-2} \cos \gamma + 3e^{-2\gamma} > 0 \\ K_{sl}(\gamma) &= -3 + 8e^{-2} \sin \gamma + 3e^{-2\gamma} \end{aligned} \quad \} \dots \dots \dots \dots \quad (2)$$

である。式(1)において、 $r=0$ および $\gamma=1$ はそれそれぞれ進行波および完全重複波に対応し、それ以外の場合、式(1)の右辺括弧内の第2式および第1式がゼロになる。(したがって K_{pl} および K_{sl} はそれそれぞれ進行波および完全重複波に対する境界層内質量輸送速度の鉛直分布を示すことになる。式(1)と(2)から、 $0 \leq kx \leq \pi/2$ の領域では重複波の質量輸送は底面の近く近傍を除いて進行波のそれと同一方向であるが、 $\pi/2 \leq kx \leq \pi$ の領域では逆方向になる。このことは、海岸堤防前面でよくみられる部分重複波の場合、質量輸送が反射率、構造物前面からの距離、および底面からの高さによってその方向も大きさも異なることを示している。したがって K_{sl} の値に現われる底質近傍の逆転層厚と底質粒径の比が漂砂の方向を決定する重要な要素になると推定される。

(ii) 乱流境界層；第16回海岸工学講演会で示した波動乱流境界層理論にもとづいて乱流境界層における質量輸送速度 \bar{U}_T を計算すると、近似的に、

$$\bar{U}_T = \frac{\pi^2 (H_i)^2}{4} \frac{L}{T \sinh^2 kh} \left[(1-r^2) K_{pt} + 2r K_{st} \sin 2kx \right] \dots \dots \dots \dots \quad (3)$$

のようになり、形式的には式(1)とまったく一致する。式(1)と比較すれば、 K_{pt} および K_{st} はそれそれぞれ進行波および完全重複波に対する質量輸送速度の鉛直分布を示すものであることがわかる。(しかし乱流境界層の場合、 K_{pt} および K_{st} は γ のみの関数ではなく、Reynolds 数 $U_0 S/k$ [$U_0 = (r+r) \pi H_i / T \sinh kh$] や粗度長 Z_0/S にも関係する。これらの諸量に対する関数形はきわめて複雑であつて、これを解析的に取り扱うことは困難である。したがってここでは数値計算例のいくつかを示すことによって、その特性を明らかにしよう。一般に、 K_{pt} は γ のすべての領域にわたって正であり、波の進行方向に質量輸

送が起る。しかし K_{st} は $U_0 \delta/\nu$ および Z_0/δ の値によってその方向が種々変化する。図-1は $Z_0/\delta = 0$ (滑面) の場合の K_{st} と Z/δ の関係を、また図-2は $Z_0/\delta = 5$ (粗面) の場合の同様の関係を、 $U_0 \delta/\nu$ をパラメータとして示したものである。さらには、図-3は $U_0 \delta/\nu = 1000$ の場合の K_{st} と Z/δ の関係を Z_0/δ をパラメータとして示したものである。なお、図-1の実線は K_{st} を表わしている。これらの図から明らかのように、 K_{st} の値は Z_0/δ および $U_0 \delta/\nu$ の値が大きくなると、逆の方向に質量輸送が発生する。(たがつて底質の移動方向も $U_0 \delta/\nu$ 、 Z_0/δ および ν さらに底質の大きさや底質の移動形式に關係することわかる。

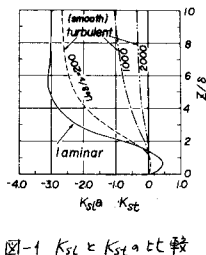


図-1 K_{st} と K_{st}' の比較

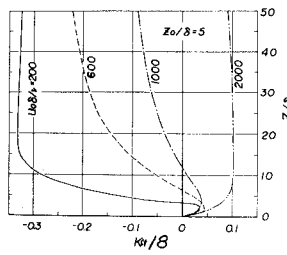


図-2 K_{st} の鉛直分布(1)

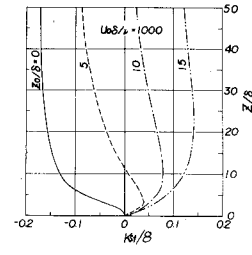


図-3 K_{st} の鉛直分布(2)

は K_{st} を表わしている。これらの図から明らかのように、 K_{st} の値は Z_0/δ および $U_0 \delta/\nu$ の値が大きくなると、逆の方向に質量輸送が発生する。(たがつて底質の移動方向も $U_0 \delta/\nu$ 、 Z_0/δ および ν さらに底質の大きさや底質の移動形式に關係することわかる。

3 構造物基部の洗掘機構

(i) $r=1$ (完全重複波)

図-4は底質が砂の場合の地形変化を示すものであり、図-5は底質が塩化ビニール粒の場合である。底質が砂の場合、底面には Ripple が発達するが、塩化ビニール粒の場合、それらは見られなかつた。

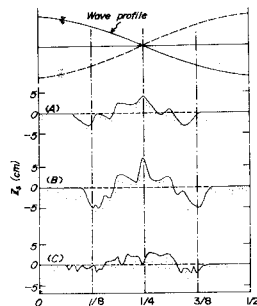


図-4 重複波による地形変化(I)

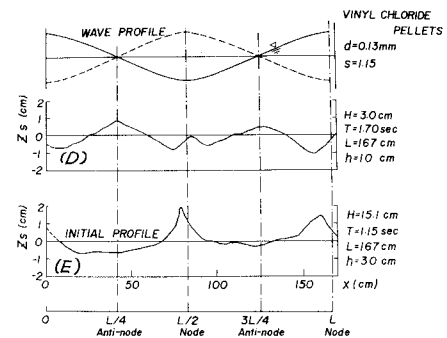


図-5 重複波による地形変化(II)

これら2図から平衡地形の形態を分類すると、I型 (節に堆積し、腹の部分はわざかの区域もとのままで、節と腹の中间部分が洗掘される。D), II型 (腹の部分に堆積する。E) および III型 (I型の腹の部分のもとのままでの区域が大きいもの。A, B, C)となる。表-1はその形態と H/sd (s : 水中比重, d : 粒径, 底質が掃流か浮遊していけるかの移動形式を示す指標) および $U_0 \delta/\nu$ の関係を示したものであつて、これら2図の向には一般的な関係が存在していようである。

Bed Materials	H/sd	$U_0 \delta/\nu$	Type of Profile
Sand - A	0.79×10^2	226	III
Sand - B	1.10×10^2	262	III
Sand - C	5.50×10^2	292	III
V.P. - D	1.77×10^3	75	I
V.P. - E	1.00×10^4	125	II

表-1 地形と底質・波浪特性の関係

(ii) $r \neq 1$ (部分重複波); 図-6 は佐藤・田中・入江らが求めた海底地形変化に関する実験の結果であつて、 $r = 0.45$, $H/sd = 2.1 \times 10^2$, $U_0 \delta/\nu = 95$ の場合である。この場合の地形は図より明らかのように I型に属していゝ。これは $U_0 \delta/\nu$ の値が小さく層流 (限界は 1/3) であるため、底質の掃流形式で運搬されたためと考えられる。この詳細については論議時に述べる。

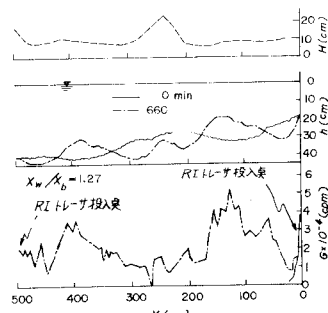


図-6 部分重複波による地形変化
(田中・佐藤・入江により)